

AEG Thyatron

ASG5008
S 15/80 i

Triode mit Quecksilberdampffüllung

Mercury-vapour triode

Triode avec remplissage à vapeur de mercure

Triode con relleno de vapor de mercurio

Glasausführung

Glass type

Exécution verre

Tipo de vidrio

Kathode

Cathode

Cathode

Cátodo

indirekt geheizt

indirectly heated

à chauffage indirect

caldeado indirectamente

Montageanordnung: senkrecht mit dem Sockel nach unten

Mounting Position: Vertical, base down

Disposition de montage: verticale avec socle dirigé vers le bas

Para montaje: vertical con portaválvula hacia abajo

Gewicht

Approx. net weight

Poids

Peso

2,2 kg

4,8 lbs

a = Anode

Anode

Anode

Anodo

g = Steuergitter

Control grid

Grille de réglage

Rejilla de mando

k = Kathode

Cathode

Cathode

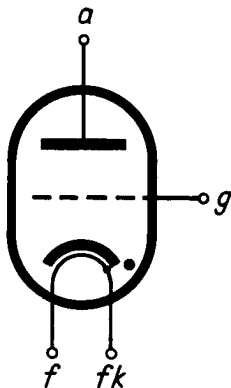
Cátodo

f = Heizung

Heating

Chauffage

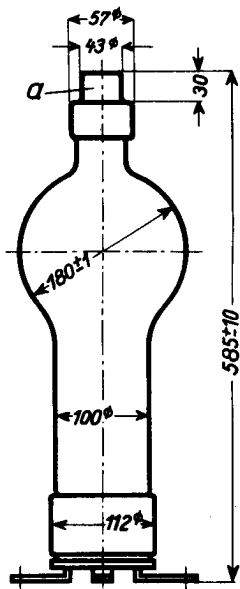
Caldeo



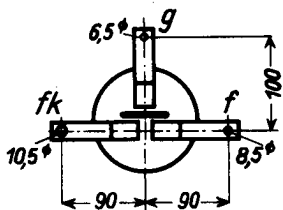
Rf 5737/1

Inf. Mappe 38/8

Sept. 1952



Sockelansicht von unten
 Bottom view of socket
 Socle vu du bas
 Portaválvula vista desde abajo



Abmessungen
 Dimensions
 Dimensiones } mm

Technische Werte
Technical data
Caractéristiques techniques
Datos técnicos

Heizspannung Filament voltage Tension de chauffage Tensión de caldeo	}	U_f 5 V
Heizstrom Filament current Courant de chauffage Corriente de caldeo	}	ca. abt. env. aprox.
Heizstrom Filament current Courant de chauffage Corriente de caldeo	}	J_f 36 A
Toleranz der Heizspannung Max. permissible filament voltage fluctuations Fluctuation admissible de la tension de chauffage Tolerancia de la tensión de caldeo	}	max. \pm 5%
Anheizzeit Cathode-heating time Durée de chauffage Tiempo de precaldeo	}	t_f min. 20 min.
Anodenspannung (Scheitelwert) Anode voltage (crest value) Tension anodique (valeur de crête) Tensión anódica (valor cresta)	}	U_a max. 15 kV
Sperrspannung (Scheitelwert) Inverse voltage (crest value) Tension d'arrêt (valeur de crête) Tensión de bloqueo (valor cresta)	}	$U_{inv.}$ max. 15 kV
Anodenstrom (Scheitelwert) Anode current (crest value) Courant anodique (valeur de crête) Corriente anódica (valor cresta)	}	J max. 80 A
Anodenstrom (Mittelwert) Anode current (average) Courant anodique (valeur moyenne) Corriente anódica (valor medio)	}	J_a max. 20 A
Steuergitterspannung bei gesperrter Röhre (Scheitelwert) Negative control grid bias of non-conducting tube (crest value) Tension de grille régulatrice pour tube non allumé (valeur de crête) Tensión de rejilla de mando con válvua no encendida (valor cresta)	}	U_g max. - 600 V

Steuergitterstrom (Scheitelwert)

Control grid current (crest value)
 Courant de grille (valeur de crête)
 Corriente de rejilla (valor cresta)

$$\left. \begin{array}{l} \\ \\ \\ \end{array} \right\} \hat{I}_g \text{ max. } 0,2 \text{ A}$$

Steuergitterstrom (Mittelwert)

Control grid current (average)
 Courant de grille (valeur moyenne)
 Corriente de rejilla (valor medio)

$$\left. \begin{array}{l} \\ \\ \\ \end{array} \right\} I_g \text{ max. } 0,04 \text{ A}$$

Gitterwiderstand

Max. grid resistance
 Résistance de grille
 Resistencia de rejilla

$$\left. \begin{array}{l} \\ \\ \\ \end{array} \right\} R_g \text{ max. } 100 \text{ k } \Omega$$

Spannungsabfall an der gezündeten Röhre

Arc drop
 Chute de tension
 Caída de tensión

$$\left. \begin{array}{l} \\ \\ \\ \end{array} \right\} U_B \quad 15 \text{ V}$$

Integrationszeit

Integration time
 Temps d'intégration
 Tiempo de integración

$$\left. \begin{array}{l} \\ \\ \\ \end{array} \right\} \tau \text{ max. } 15 \text{ sec.}$$

Jonisationszeit

Ionisation time
 Temps d'ionisation
 Tiempo de ionización

$$\left. \begin{array}{l} \\ \\ \\ \end{array} \right\} t_i \quad 10 \mu \text{ sec.}$$

Freiwerdezeit

Recovery time
 Temps de recouvrement
 Tiempo de recobro

$$\left. \begin{array}{l} \text{bei} \\ \text{at} \\ \text{à} \\ \text{en} \end{array} \right\} \begin{array}{l} U_g = - 10 \text{ V} \\ U_g = - 100 \text{ V} \end{array} \quad \left. \begin{array}{l} t_r \\ t_r \end{array} \right\} \begin{array}{l} 500 \mu \text{ sec.} \\ 200 \mu \text{ sec.} \end{array}$$

Gitteranoden-Kapazität

Grid-anode capacity
 Capacité d'anode de grille
 Capacidad del ánodo de rejilla

$$\left. \begin{array}{l} \\ \\ \\ \end{array} \right\} C_{ag} \quad \begin{array}{l} 9 \text{ pF} \\ (\mu\mu\text{F}) \end{array}$$

Eingangs-Kapazität

Grid-filament capacity
 Capacité a'entrée
 Capacidad rejilla filamento

$$\left. \begin{array}{l} \\ \\ \\ \end{array} \right\} C_g \quad \begin{array}{l} 35 \text{ pF} \\ (\mu\mu\text{F}) \end{array}$$

Ausgangs-Kapazität

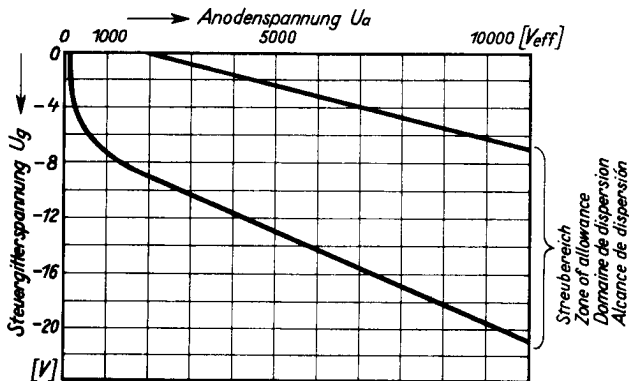
Anode-filament capacity
 Capacité de sortie
 Capacidad ánodo-filamento

$$\left. \begin{array}{l} \\ \\ \\ \end{array} \right\} C_a \quad \begin{array}{l} 40 \text{ pF} \\ (\mu\mu\text{F}) \end{array}$$

Umgebungstemperatur

Ambient temperature
 Température ambiante
 Temperatura de ambiente

$$\left. \begin{array}{l} \\ \\ \\ \end{array} \right\} \begin{array}{l} \text{min. } +15^\circ \text{ C} \\ \text{max. } +35^\circ \text{ C} \end{array}$$



Zündkennlinienbereich bei einer großen Zahl von Röhren gemessen. Zündkennlinie stellt Steuergitterspannung U_g in Abhängigkeit von der Anodenwechselspannung U_a (Effektivwert) am Zündpunkt dar.

Band of ignition characteristics as determined from measurements of a multitude of tubes.

Breakdown characteristic presents grid potential U_g as function of anode voltage (effective) U_a at firing point.

Domaine des caractéristiques d'allumage d'etermined sur un grand nombre de tubes. La caractéristique d'allumage représente la tension de grille U_g en fonction de la tension alternative anodique (valeur effective) au point d'allumage.

Alcance de las características de ignición determinado en gran número de válvulas medidas.

La característica de ignición representa la tensión de rejilla de mando U_g en dependencia de la tensión alterna anódica U_a (valor eficaz) en el punto de ignición.